

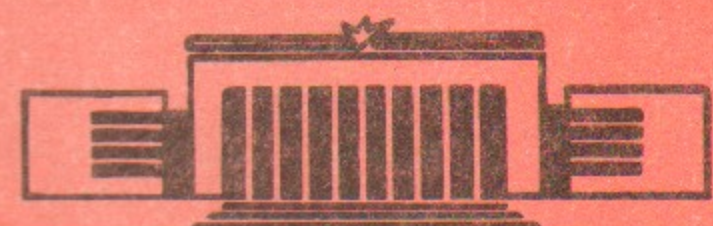


ИНСТИТУТ ЯДЕРНОЙ ФИЗИКИ  
СО АН СССР

Э.И.Горнигер, И.А.Шехтман

РАСЧЁТ ПРОЛЁТНОГО ЗАЗОРА И  
КОЭФФИЦИЕНТА ПЕРЕНАПРЯЖЕНИЯ В  
ВЫХОДНОМ РЕЗОНАТОРЕ ГИРОКОНА  
ПРИ РАЗЛИЧНЫХ УГЛАХ ВВОДА ЛУЧА

ПРЕПРИНТ 81-52



Новосибирск

РАСЧЕТ ПРОЛЕТНОГО ЗАЗОРА И КОЭФФИЦИЕНТА ПЕРЕНАПРЯЖЕНИЯ  
В ВЫХОДНОМ РЕЗОНАТОРЕ ГИРОКОНА ПРИ РАЗЛИЧНЫХ УГЛАХ ВВОДА ЛУЧА

Горникер Э.И., Шехтман И.А.

А Н Н О Т А Ц И Я

Кольцевой резонатор гирокона рассматривается в виде плоской модели как бесконечный волновод, возбуждаемый электронным лучом, место входа которого перемещается вдоль волновода. Для условий, при которых электрон на выходе полностью теряет свою скорость, а напряженность поля волны минимальна, определяется отношение амплитуды ВЧ напряжения к ускоряющему напряжению источника электронов, а также величина соответствующего пролетного зазора. Оценены погрешности и указаны пределы применимости плоской модели для гироконов радиального и аксиального типов.

Рассмотрена также коаксиальная модель выходного резонатора и получены приближенные формулы для расчета пролетного зазора, коэффициента перенапряжения и оптимального угла ввода луча.

Результаты расчета позволяют выбрать размеры и оценить КПД выходного резонатора гирокона.

I. Одно из отличий гирокона [1] от нерелятивистских СВЧ генераторов с круговой разверткой луча (например, [2]) состоит в том, что в гироконе имеются специальные устройства, способствующие полному торможению электронов релятивистских энергий в выходном резонаторе. Именно релятивистский уровень энергии электронов, как впервые отметил Г.И.Будкер, предложивший гирокон [1,3], позволяет, в принципе, достичь высокой СВЧ мощности при КПД, близком к 100%. Для этого требуется оптимизировать элементы гирокона, в частности, - выходной резонатор. Этот резонатор представляет собой волновод, замкнутый в кольцо.

Электроны, модулированные по направлению скорости, меняют место своего входа в резонатор, возбуждая в нем бегущую волну [4]. Взаимное расположение релятивистского пучка и выходного резонатора в гироконе схематически показано на рис.Ia и Iб. Здесь даны схемы резонаторов аксиального (рис.Ia) и радиального (рис. Iб) гироконов, построенных в Институте ядерной физики СО АН СССР [5].

Для упрощения анализа процесса возбуждения выходного резонатора рассматривалась его плоская модель [4], представляющая собой бесконечный волновод с бегущей в нем волной типа Н, которая имеет максимум электрического поля в плоскости движения электронов (рис.Iв). Если начальная скорость релятивистских электронов направлена перпендикулярно широкой стенке волновода, то как показал анализ [6], из-за отклонения электрона магнитным полем волны, полного торможения не произойдет. Это приведет к снижению КПД взаимодействия на 10-30%, даже в том случае, когда возбуждающий электронный пучок - бесконечно тонкий. В гироконе один из способов устранения этого релятивистского эффекта снижения КПД - косой ввод луча. Электроны должны вводиться в резонатор под определенным углом  $\Psi$  (рис.Iб, Iв), имея составляющую скорости в направлении перемещения точки входа пучка.

Наряду с оптимизацией угла ввода  $\Psi$ , необходима оптимизация пролетного зазора резонатора по потерям. Расчет оптимального пролетного зазора был проведен в первую очередь для оптимального угла ввода [3,4].\*) Однако, на практике угол ввода может отличаться от оптимального, и появляется необходимость оцен-

\*) Приложение I

ки пролетного зазора в этом случае. Необходима также оценка погрешности результатов, полученных путем анализа плоской модели. Если для резонатора аксиального гирокона эту оценку можно попытаться сделать, оставаясь в пределах модели <sup>\*)</sup>, то для радиального - требуется сравнение с результатами точного численного счета. Ниже излагается решение этих задач.

2. Основные предположения, сделанные при анализе плоской модели следующие:

- a) бесконечно тонкий возбуждающий пучок (рассматривается движение одного электрона);
- б) высокая добротность выходного резонатора (рассматривается один тип бегущей волны);
- в) поле в области движения пучка - однородно (т.е. не зависит от координаты  $y$ , рис. Iв);
- г) рассматривается движение электрона в заданном поле бегущей волны (предполагается, что заданное поле всегда может быть получено путем подбора размеров, настройки и величины нагрузки резонатора).

Систему уравнений движения электрона в поле волны (I),

$$E_y = E \cos(\omega t - \beta x) \quad (I)$$

$$B_z = B \cos(\omega t - \beta x),$$

бегущей в волноводе (рис. Iв) с фазовой скоростью  $V$  (2),

$$V = \frac{E}{B} = \frac{c}{\sqrt{1 - (\frac{\lambda_k}{\lambda})^2}}, \quad (2)$$

для удобства интегрирования запишем в четырехмерной формулировке (3):

$$\left. \begin{aligned} \ddot{x} &= -k \dot{y} \cos \beta \varphi \\ \ddot{y} &= -k \dot{x} \cos \beta \varphi \\ \ddot{z} &= 0 \\ \ddot{ct} &= -k \dot{y} V \cos \beta \varphi \end{aligned} \right\} \quad (3)$$

Здесь  $E$  - амплитуда напряженности электрического поля,  $B$  - амплитуда магнитной индукции,  $\omega$  - круговая частота,  $c = 3 \cdot 10^8$  м/сек,  $\lambda_k$  - длина критической волны волновода,  $\lambda = \frac{2\pi c}{\omega}$ ,  $\beta = \frac{V}{c}$  - относительная скорость волны в выходном резонаторе гирокона,

<sup>\*)</sup> Приложение II

$K = \frac{eB}{mc}, \frac{mc^2}{e} = 5,11 \cdot 10^5$  Вольт,  $q = \beta ct - x$ ,  $\beta = \frac{V}{c}$ ,  $\omega t - \frac{c}{V} x = \beta \varphi$ . Точки означают дифференцирование по  $s$ , где  $ds = \frac{cdt}{\beta}$  - четырехмерный элемент длины,  $\varphi$  - относительная энергия электрона.

Начальные условия при этих обозначениях имеют вид (4): при

$$s = 0$$

$$\left. \begin{aligned} ct_0 &= \delta_0, & t = t_0, \\ \dot{x}_0 &= \sqrt{\delta_0^2 - 1} \cdot \sin \psi, & x = x_0, \\ \dot{y}_0 &= \sqrt{\delta_0^2 - 1} \cdot \cos \psi, & y = 0, \\ \dot{z}_0 &= 0, & z = 0, \end{aligned} \right\} \quad (4)$$

где  $\delta_0 = \frac{eU_0}{mc^2} + 1$  - начальная относительная энергия, ( $U_0$  - ускоряющее напряжение источника электронов),  $\psi$  - угол ввода (рис. Iб, Iв).

3. Однократное интегрирование первого и четвертого уравнений системы (3), как известно <sup>\*)</sup> [3], позволяет найти оптимальный угол ввода  $\psi = \psi_0$  (5), при котором в конце пролетного зазора  $y = b_0$  полная скорость электрона обращается в нуль, что соответствует КПД = 100%,

$$\psi_0 = \arccos \sin \left( \frac{1}{V} \sqrt{\frac{\delta_0 - 1}{\delta_0 + 1}} \right). \quad (5)$$

Интегрирование второго уравнения системы <sup>\*)</sup> (3) позволяет найти фазы влета и вылета, при которых поперечная (параллельная оси  $y$ ) скорость электрона обращается в нуль в конце пролетного зазора. Минимальная напряженность поля (т.е. минимальные удельные потери) при этом будут тогда, когда фаза влета  $\beta \varphi_0 = -\frac{\pi}{2}$ , и фаза вылета  $\beta \varphi_e = +\frac{\pi}{2}$ . При этом продольная скорость ( $\dot{x}_e$ ) электрона в конце пролета может быть и не равной нулю (т.е. КПД < 100%), если  $\psi \neq \psi_0$  (5).

Минимальная напряженность электрического поля в зазоре при этом равна (6):

$$E_{min} = \frac{U_0}{\lambda} \pi \sqrt{\frac{\delta_0 + 1}{\delta_0 - 1}} \cdot \cos \psi, \quad (6)$$

<sup>\*)</sup> Приложение I

а коэффициент перенапряжения составляет (7):

$$\frac{U}{U_0} = \frac{\pi b}{\lambda} \sqrt{\frac{\delta_0 + 1}{\delta_0 - 1}} \cdot \cos \psi. \quad (7)$$

Здесь  $U$  - амплитуда напряжения на зазоре (6).

Дальнейшее интегрирование системы \*) (3) позволяет найти пролетный зазор (6) при условии минимальных удельных потерь ( $\beta \gamma_0 = -\frac{\pi}{2}$ ,  $\beta \gamma_\theta = +\frac{\pi}{2}$ ), для произвольного угла ввода:

$$\frac{2\pi b}{\lambda} = \frac{J}{\sqrt{J^2 - 1}} \cdot \frac{1}{\sqrt{\Gamma}} \cdot \sqrt{\frac{\Gamma + 1}{\Gamma - 1}} \cdot \left[ \pi \sqrt{\Gamma} \sqrt{\frac{\Gamma - 1}{\Gamma + 1}} + (\Gamma - 1) K(k^2) - (\Gamma + 1) \prod(m, k^2) \right]. \quad (8)$$

Здесь  $\lambda$  - длина рабочей волны гирокона,  $K(k^2)$  полный эллиптический интеграл I-го рода,  $\prod(m, k^2)$  - полный эллиптический интеграл 3-го рода,  $k^2 = \frac{\Gamma - 1}{2\Gamma}$ ;  $m = \frac{2}{\Gamma - 1}$ ;

$$\Gamma = \frac{\delta_0 J - \sqrt{\delta_0^2 - 1} \cdot \sin \psi}{\sqrt{(J_0 J - \sqrt{J_0^2 - 1} \cdot \sin \psi)^2 - (J^2 - 1)(\delta_0^2 - 1) \cos^2 \psi}}. \quad (9)$$

Если угол ввода оптимален ( $\psi = \psi_0$ ) (5), то пролетный зазор  $b = b_0$  определяется из (8), но выражение (9) упрощается и приобретает вид (10):

$$\Gamma = \frac{1}{J^2} + \left(1 - \frac{1}{J^2}\right) \delta_0. \quad (10)$$

что совпадает с [3, 4].

Таким образом, пролетный зазор (6) выходного резонатора с минимальными удельными потерями может быть рассчитан по (8) и (9) не только для критического режима, когда кроме условия влета и вылета в нулевой фазе, электрон введен под оптимальным углом (5), но и при неоптимальном угле ввода. \*\*) Из соотношения (7) по найденному значению  $(\frac{U}{U_0})_{\text{тех}}$ , может быть определен коэффициент перенапряжения,  $(\frac{U}{U_0})_{\text{тех}}$ , необходимый для расчета потерь в выходном резонаторе и КПД гирокона.

\*) Приложение I

\*\*) Приложение III

4. Движение электрона в средней плоскости коаксиального резонатора радиального гирокона запишем в цилиндрической системе координат ( $r, \varphi, z$ ) (рис. Iб):

$$\left. \begin{aligned} \frac{d}{dt} \left( m \gamma \frac{dr}{dt} \right) &= m \gamma r \left( \frac{d\varphi}{dt} \right)^2 - e(E_r + B_z r \frac{d\varphi}{dt}) \\ \frac{d}{dt} \left( m \gamma r^2 \frac{d\varphi}{dt} \right) &= -e(E_\varphi - B_z \frac{dr}{dt}) r \end{aligned} \right\} \quad (II)$$

В уравнениях  $E_r, E_\varphi, B_z$  - составляющие электромагнитного поля в резонаторе.

Система уравнений решалась численно для разных углов ввода и энергий электрона при разных размерах резонатора. Строгое аналитическое решение системы получить не удается, но ряд полезных результатов можно получить, упростив уравнения (II). При отношении внешнего диаметра резонатора к внутреннему не более 4 можно приближенно считать:

$$E_\varphi = 0 \quad (I2)$$

$$E_r \sim \frac{1}{r} \quad (I3)$$

$$B_z = 0 \quad (I4)$$

Приближение (I3) и (I4) полезно для оценки пролетных углов, если начальная азимутальная скорость равна нулю. Приближенный анализ позволяет определить области изменения параметров пучка электронов и размеров резонатора при численном решении системы (II).

5. С учетом (I2) движение электрона в средней плоскости коаксиального резонатора с волной  $H_{111}$ , поляризованной по кругу, описывается в цилиндрической системе координат системой уравнений (I5), (I6), (I7):

$$\frac{d^2 r}{ds^2} = (k + G) \left( \frac{d\varphi}{ds} \right)^2 - P.K(k, G) \cdot \cos(\omega t - \varphi) \cdot \left[ \frac{J}{2(k+G)} - \frac{k+G}{J} \left( \frac{d\varphi}{ds} \right) \right], \quad (I5)$$

$$\frac{d}{ds} \left[ (k+G)^2 \left( \frac{d\varphi}{ds} \right) \right] = -P.K(k, G) \cdot \cos(\omega t - \varphi) \cdot \frac{k+G}{J} \left( \frac{dr}{ds} \right), \quad (I6)$$

$$\frac{d\gamma}{ds} = -P \cdot K(\zeta, G) \cdot \cos(\omega t - \varphi) \cdot \frac{2G+1}{2(\zeta+G)} \cdot \left( \frac{d\zeta}{ds} \right). \quad (17)$$

Здесь обозначено:

$$ds = \frac{c}{B} \cdot \frac{dt}{\gamma}, \quad B - \text{пролетный зазор}$$

$$\gamma = \frac{n \lambda_k \cdot \lambda_k}{\ell_{op} \cdot \lambda}, \quad \ell_{op} = 2\pi B(G + \frac{1}{2}), \quad n - \text{номер азимутальной гармоники}, \quad \lambda_k - \text{критическая длина волны } H_{n1} \text{ в коаксиальном волноводе}, \quad P = U \cdot \frac{c}{mc^2} = \frac{U}{5,11 \cdot 10^5 B}, \quad U - \text{интеграл от } E_z, \text{ взятый по пролетному зазору.}$$

Цилиндрическая координата  $\zeta$  связана с безразмерной координатой  $\zeta$  следующим образом:

$$\zeta = (\zeta + G)\beta,$$

$G$  - отношение внутреннего радиуса коаксиального резонатора к пролетному зазору.

$\frac{1}{2}K(\zeta, G)$  - функция распределения поля  $E_z$  в зазоре резонатора, определяемая решением волнового уравнения [7].

Из (16) и (17) следует:

$$\frac{d\varphi}{ds} = \frac{2}{V(2G+1)(\zeta+G)^2} \left[ \int (\zeta+G)^2 d\gamma + C \right], \quad (18)$$

где  $C$  - константа интегрирования.

Очевидно, что при  $G \rightarrow \infty$  выражение (18) интегрируется, что соответствует случаю проськой модели:

$$\frac{d}{ds} \left( \frac{2G+1}{2} \cdot \frac{d\varphi}{ds} \right) = \int d\gamma + C.$$

Здесь  $\frac{2G+1}{2} d\varphi \rightarrow \frac{dx}{B}$  при  $G \rightarrow \infty$ .

Представим (18) в следующем виде:

$$\frac{d\varphi}{ds} = \frac{1}{V} \cdot \frac{1}{G(1+\frac{4}{2G})(\frac{\zeta}{G}+1)^2} \left( \gamma + \frac{1}{G^2} \int \zeta^2 d\gamma + \frac{2}{G} \int \zeta d\gamma + C \right). \quad (19)$$

Обозначим  $F_1(\zeta) = \int \zeta^2 d\gamma$ ;  $F_2(\zeta) = \int \zeta d\gamma$ .

Положим  $F_1(0) = F_2(0) = 0$  и определим  $C$  из (19), учитывая начальные условия:

$$\frac{d\varphi}{ds} \Big|_{\zeta=0} = \frac{\sqrt{\gamma_0^2 - 1} \cdot \sin \varphi}{G}$$

Полагая, что на выходе из резонатора полная скорость электрона равна нулю, т.е. КПД = 1:  $\frac{d\psi}{ds} = 0$ ,  $\gamma = 1$  при  $\zeta = 1$ , получим уравнение для определения оптимального угла ввода:

$$\sin \psi_0 = \frac{(\gamma_0 - 1) - \frac{F_1(1)}{G^2} - \frac{2F_2(1)}{G}}{\sqrt{(1 + \frac{4}{2G}) \sqrt{\gamma_0^2 - 1}}}. \quad (20)$$

В выражениях для  $F_1$  и  $F_2$  перейдем к интегрированию по  $\zeta$ :

$$F_1 = \int \zeta^2 \left( \frac{d\zeta}{ds} \right) d\zeta; \quad F_2 = \int \zeta \left( \frac{d\zeta}{ds} \right) d\zeta.$$

Из численных расчетов следует, что величина интегралов  $F_1$  и  $F_2$  слабо зависит от формы зависимости  $\gamma(\zeta)$ , а определяется в основном начальным и конечным значениями  $\gamma$ . Поэтому положим зависимость  $\gamma(\zeta)$  линейной:

$$\gamma = \gamma_0 - (\gamma_0 - 1)\zeta.$$

Тогда:

$$F_1 = -(\gamma_0 - 1) \frac{\zeta^3}{3}; \quad F_2 = -(\gamma_0 - 1) \frac{\zeta^2}{2}.$$

Подстановка этих выражений в (20) позволяет получить приближенную формулу для определения оптимального угла ввода:

$$\sin \psi_0 = \frac{1}{V} \sqrt{\frac{\gamma_0 - 1}{\gamma_0 + 1}} \cdot Q(G), \quad (21)$$

где

$$Q(G) = \frac{1 + \frac{1}{G} + \frac{1}{3G^2}}{1 + \frac{4}{2G}}. \quad (22)$$

Из этой формулы следует, что обеспечить получение КПД равного 100% изменением угла ввода можно не для любого резонатора. Предельный угол ввода  $90^\circ$  и, следовательно,

$$\gamma \geq \sqrt{\frac{\gamma_0 - 1}{\gamma_0 + 1}} \cdot Q(G). \quad (23)$$

Практически величина  $G$  ограничена конструктивно и, повидимому, не может быть менее  $1/3$ . При таких размерах резонатора азимутальное электрическое поле составляет не более 40% от радиального. Так как в критическом режиме это поле знакопеременное, а азимутальная скорость составляет не более 50% от радиальной, ус-

ловие (12) справедливо,<sup>\*)</sup> и для любых практически выполнимых размеров резонаторов можно пользоваться выражением (21).

Если  $G \geq \frac{1}{3}$ , то  $\lambda_K \approx \ell_{cp}$  и для волны  $H_{111}$  получим:

$$\ell \approx \frac{2\pi b(G + \frac{1}{2})}{\lambda} \quad (24)$$

Учитывая (24) можно представить (23) в виде:

$$\frac{2\pi b_0}{\lambda} \geq \sqrt{\frac{\gamma_0 - 1}{\gamma_0 + 1}} \cdot \frac{Q(G)}{G + \frac{1}{2}} \quad (25)$$

Т.е. для выходного резонатора радиального гирокона существует минимальная величина зазора, при которой может быть достигнут КПД, равный 100%.

6. Оценим, как меняется величина пролетного угла и фаза влета электронов в коаксиальном резонаторе при минимальной средней по зазору напряженности поля в сравнении с теми же величинами для плоской модели. Результаты численного счета показывают, что при  $\gamma < 2$  азимутальная координата точки вылета электрона не превышает  $15^\circ$ , если начальная азимутальная скорость и координата равны нулю, а следовательно можно пользоваться приближением (14) для решения уравнения (15), положив  $\Psi = 0$ . Если величина  $G$  не менее  $1/2$ , то справедливо также и (13).

Уравнение (15) принимает в этом случае следующий вид:

$$\frac{d}{ds} \left( \frac{db}{ds} \right) = - \frac{\lambda}{2\pi b} P \cdot \frac{d(wt)}{ds} \cdot \cos wt \cdot \frac{1 + \frac{1}{2G}}{\frac{b}{G} + 1} \quad (26)$$

Интегрируя (26) получаем

$$\frac{db}{ds} - \frac{db}{ds} \Big|_{\gamma=0} = - \frac{\lambda P}{2\pi b} \left( 1 + \frac{1}{2G} \right) \int_{wt_0}^{wt_e} \cos wt \cdot \frac{d(wt)}{ds} \cdot \left( \frac{b}{G} + 1 \right)^{-1} ds$$

$wt_0$ - фаза влета,  $wt_e$ - фаза вылета электрона. Минимальная величина средней по зазору напряженности поля получится при максимальном значении интеграла:

$$\Upsilon = \int_{wt_0}^{wt_e} \cos wt \cdot f(wt) \cdot d(wt), \quad (17)$$

\*) Имеется в виду малая суммарная мощность взаимодействия электрона с полем  $E_\varphi$ .

где

$$f(wt) = \frac{1}{\frac{b(wt)}{G} + 1} \quad (27a)$$

Одним из условий получения КПД равного 100% является  $wt_e \leq \frac{\pi}{2}$ .

Если  $G \rightarrow \infty$ , имеем случай плоской модели и, очевидно, что для получения КПД равного 100% при минимуме напряженности поля необходима фаза влета  $wt_0 = -\frac{\pi}{2}$ , ( $\Upsilon = 2$ ). Определим область возможных фаз влета, обеспечивающих минимальную величину средней по зазору напряженности поля при  $wt_e = \frac{\pi}{2}$  при различных радиусах кривизны резонатора и произвольных функциях  $b(wt)$ . Можно показать, что  $f(wt)$  всегда меньше линейной функции

$$f(wt) = \frac{wt_0 - wt}{(G+1)(\frac{\pi}{2} - wt_0)} + 1 \quad (28)$$

Поэтому точная величина необходимого угла влета превышает величину, вычисленную из условия максимального значения  $\Upsilon$  с функцией (28).

Области углов влета для различных значений  $G$  приведены в таблице I.

Таблица I

$G$	2	I	$1/2$	$1/3$
$wt_0 >$	$-83^\circ$	$-80^\circ$	$-76^\circ$	$-75^\circ$

Таким образом, угол пролета, обеспечивающий минимум средней по зазору напряженности поля, для коаксиального резонатора уменьшается. Но следует отметить, что при углах влета больших, чем  $-\frac{\pi}{2}$ , на траекторию движения электронов начинает оказывать существенное влияние линза, образованная входной щелью резонатора и, в связи с этим, такой режим пролета становится не удобен для работы гирокона.

7. Для точного расчета пролетного зазора и коэффициента перенапряжения система (II) интегрировалась численно при следующих условиях:

а) рассматривались поля коаксиального резонатора с круговой поляризацией без учета щелей;

б) фаза вылета электрона из резонатора принималась равной  $\psi_0 = \frac{\pi}{2}$ ;

в) радиальная скорость электрона на выходе составляла не более 1% от полной начальной скорости;

г) угол въода выбран таким, чтобы азимутальная скорость электрона на выходе не превышала 1% от полной начальной скорости.

Расчет показал, что при углах ввода  $\psi_0 < 30^\circ$  формула (21) дает погрешность < 10%, а при  $\psi_0 > 30^\circ$  значение по (21) превышает истинное значение на 12%. Такая ошибка в определении угла ввода приводит к занижению величины пролетного зазора на 5% и практически не влияет на величину коэффициента перенапряжения. Азимутальная скорость при этом составляет  $\approx 5\%$  от полной начальной скорости.

На основании численных расчетов получены формулы (29) и (30), аппроксимирующие зависимость коэффициента перенапряжения ( $\frac{U}{U_0}$ ) и оптимального пролетного зазора ( $\frac{b_0}{\lambda}$ ) от характеристики резонатора ( $G$ ), фазы влета ( $\omega t_0$ ) и энергии электронов ( $eU_0$ ) с погрешностью не более 5% в интервалах  $U_0$  (31),  $G$  (32),  $\omega t_0$  (33).

$$\frac{U}{U_0} = -\frac{\omega t_0}{0,87} + \frac{0,34}{G} - 0,56 + \frac{40}{U_0 [\text{kV}]} . \quad (29)$$

$$\frac{b_0}{\lambda} = \frac{\left( -\frac{\omega t_0}{0,87} + \frac{0,34}{G} - 0,56 \right) U_0 [\text{kV}] + 40}{\left( \frac{0,41}{G} + 3,68 \right) U_0 [\text{kV}] + 1000} . \quad (30)$$

$$200 \leq U_0 \leq 700 \text{ kV}, \quad (31)$$

$$0,4 \leq G \leq 1, \quad (32)$$

$$-1 \leq (\omega t_0) \frac{2}{\pi} \leq -0,7 . \quad (33)$$

Величина средней по зазору напряженности электрического поля, определяемая как ( $\frac{U}{b_0}$ ), очень слабо зависит от ( $\omega t_0$ ) в интервале фаз (33) и поэтому при выводе (29) и (30) она принята не зависящей от фазы влета.

В таблице 2 для иллюстрации приводятся величины, найденные

по формулам (21), (29) и (30) (строка I) и результаты численного интегрирования (строка II).

Таблица 2

$\vartheta$	$G$	$U_0 [\text{kV}]$	$\omega t_0$	$\psi_0 [\text{рад}]$	$\frac{b_0}{\lambda}$	$\frac{U}{U_0}$	
2,3	I	390	$-\frac{\pi}{2}$	20,4	0,254	1,69	I
				20,4	0,250	1,70	II
1,4	0,417	400	$-0,78\frac{\pi}{2}$	66	0,246	1,76	I
				58	0,250	1,83	II

8. В таблице 3 проведено сравнение величин, рассчитанных по формулам (5), (8), (10) для плоской модели ( $G = \infty$ ), и результатов численного анализа для коаксиальных резонаторов при энергии  $eU_0 = 500 \text{ кэВ}$  и фазе влета  $\omega t_0 = -\frac{\pi}{2}$ . Приведенная в таблице величина  $E_{\max} / E_{\text{пл.}}$  — отношение максимальной напряженности электрического поля в коаксиальном резонаторе к напряженности электрического поля в плоской модели.

Таблица 3

$\vartheta$	$G$	$\frac{b_0}{\lambda}$	$\psi_0 [\text{рад}]$	$\frac{U}{U_0}$	$\frac{E_{\max}}{E_{\text{пл.}}}$	$U [\text{kV}]$
2,3	$\infty$	0,28	13,8	1,48	I	740
1,84	$\infty$	0,29	18	1,5	I	750
2,5	I	0,27	20,5	1,66	I,63	830
2	0,67	0,28	28,7	1,80	I,88	900
1,8	0,5	0,3	38	2,00	2,17	1000

Необходимо отметить, что в коаксиальном резонаторе величины  $G$ ,  $\vartheta$  и  $b_0$  связаны между собой геометрически (24). А так как

задание величин  $U_0$ ,  $\omega t_0$  и  $C$  однозначно определяет величину оптимального пролетного зазора  $b_0$ , то значение  $\psi$ , в отличие от плоской модели, уже не может быть выбрано произвольно. Это затрудняет сравнение моделей, если энергия электронов и размеры резонатора заданы.

Таким образом, при переходе от плоской модели к коаксиальной увеличивается необходимый оптимальный угол ввода и возрастает максимальная напряженность электрического поля. Это означает, что при  $C < \frac{1}{3}$  (внутренний радиус втрое меньше пролетного зазора) коаксиальные резонаторы в гироконе неприменимы не только по конструктивным, но и, повидимому, по принципиальным соображениям.

Приведенные примеры (табл.3) показывают также, что оптимальный угол ввода ( $\Psi_0$ ), полученный из анализа плоской модели ( $C = \infty$ ), при достаточно малом внутреннем радиусе коаксиального резонатора ( $C \leq 1$ ) значительно ниже (в 1,5 + 2 раза) точного значения, а коэффициент перенапряжения ( $\frac{U}{U_0}$ ) в 1,2 + 1,3 раза ниже. Для таких резонаторов приемлемую погрешность (менее 10%) дают формулы (21) и (29), полученные из приближенного анализа коаксиальной модели.

Расчет пролетного зазора выходного резонатора радиального гирокона удобно вести также по приближенной формуле (30), полученной для тех же условий, что и (29), т.е. для энергии электронов 200 + 700 кэВ и  $0,4 \leq C \leq 1$ . Однако, значения оптимального пролетного зазора ( $\frac{b_0}{\lambda}$ ) могут быть получены и на плоской модели.<sup>\*\*)</sup> С погрешностью менее 10% они совпадают с точными значениями, полученными для коаксиального резонатора (табл.3).

Для выходного резонатора аксиального гирокона плоская модель дает значения ( $\frac{b_0}{\lambda}$ ) и ( $\frac{U}{U_0}$ ) с погрешностью не более 12% при начальной энергии электронов 1 МэВ и ниже.

Знание величин ( $\frac{b_0}{\lambda}$ ) и ( $\frac{U}{U_0}$ ) позволяет выбрать оптимальные размеры выходного резонатора гирокона и оценить его КПД.

### Интегрирование уравнений движения релятивистского электрона в заданном поле выходного резонатора гирокона (плоская модель)

1. Система уравнений (3) с начальными условиями (4) интегрируется следующим образом. После исключения члена  $-k_1 \cos \varphi$  из первого и четвертого уравнений и однократного интегрирования с учетом (4), получим первый интеграл движения (I,1):

$$\dot{x} - ct = \sqrt{\gamma_0^2 - 1} \cdot \sin \psi - \gamma_0. \quad (I,1)$$

Из (I,1), при условии равенства нулю полной скорости электрона ( $ct = \gamma_0 = 1$ ,  $\dot{x} = \dot{x}_0 = 0$ ) на выходе из пролетного зазора (при  $\gamma_0 = b_0$ ) следует формула (5) для оптимального угла ввода ( $\psi = \Psi_0$ ):

2. Из второго уравнения системы (3) получим еще один интеграл движения:

$$\dot{y} = \dot{y}_0 + \frac{k}{\beta} (\sin \beta \varphi_0 - \sin \beta \varphi). \quad (I,2)$$

Чтобы обеспечить равенство нулю поперечной скорости электрона ( $\dot{y} = 0$ ) на выходе из пролетного зазора ( $\gamma_0 = b$ ), необходимо выполнение соотношения (I,3), которое следует из (I,2):

$$\sqrt{\gamma_0^2 - 1} \cdot \cos \psi = (\gamma_0 - 1) \left( \frac{\lambda}{2\pi b} \right) \left( \frac{U}{U_0} \right) (\sin \beta \varphi_0 - \sin \beta \varphi). \quad (I,3)$$

Здесь, кроме обозначений, приведенных в (3) и (4),  $\beta \varphi_0$  и  $\beta \varphi$  — фазы влета и вылета электрона,  $U$  — амплитуда ВЧ напряжения на зазоре  $\gamma_0 = b$ .

Условие (I,3) может выполняться при различных значениях разности ( $\sin \beta \varphi_0 - \sin \beta \varphi$ ). Напряженность поля ( $E = \frac{U}{b}$ ) в выходном резонаторе при этом различна. Минимум  $E$  наступит, если  $\beta \varphi_0 = -\frac{\pi}{2}$  и  $\beta \varphi = +\frac{\pi}{2}$ . Это — режим минимальных удельных потерь в выходном резонаторе и максимальной электрической прочности пролетного зазора. Для него из (I,3) легко вычисляется  $E = E_{min}$  (6), и коэффициент перенапряжения ( $\frac{U}{U_0}$ ) (7).

\*\*) Приложение III

\*) Приложение II

Совмещение этого режима с условием ( $\psi = \psi_0$ ) равенства нулю полной скорости электрона на выходе из резонатора определяет т.н. критический режим и оптимальный пролетный зазор ( $b = b_0$ ).

3. Решая первое и четвертое уравнение системы (3) совместно с уравнением (I,2), получим дифференциальное уравнение с разделяющимися переменными:

$$\ddot{q} = -K(\nu^2 - 1) \left( \dot{y}_0 - \frac{K}{\beta} \sin \beta q_0 \right) \cos \beta q + K(\nu^2 - 1) \frac{K}{\beta} \cdot \sin \beta q \cdot \cos \beta q . \quad (I,4)$$

Интегрирование (I,4) дает

$$\dot{q} = \frac{dy}{ds} = \frac{A}{\beta} \sqrt{(\sin \beta q - \sin \beta q_0)^2 + \left[ \frac{\beta^2}{A^2} \dot{y}_0^2 - (\sin \beta q_0 - \sin \beta q)^2 \right]} . \quad (I,5)$$

Здесь  $A = K \sqrt{\nu^2 - 1}$ .

При выполнении соотношения (I,3) первый интеграл (I,2) упрощается

$$\dot{y} = \frac{dy}{ds} = \frac{K}{\beta} (\sin \beta q_0 - \sin \beta q) . \quad (I,6)$$

После введения новой переменной

$$\theta = \sin \beta q_0 - \sin \beta q \quad (I,7)$$

из уравнений (I,5) и (I,6) следует уравнение (I,8),

$$\frac{dy}{d\theta} = -\frac{K}{A\beta} \cdot \frac{\theta}{\sqrt{G(\theta)}} , \quad (I,8)$$

решение которого позволяет найти координату точки вылета электрона из резонатора ( $y_\theta = b$ ) при полной потере им поперечной скорости, т.е. величину пролетного зазора для режима минимума удельных потерь. В уравнении (I,8) обозначено:

$$\left. \begin{aligned} G(\theta) &= \sqrt{(\alpha_1 - \theta)(\theta - \alpha_2)(\theta^2 + n^2)}, \\ \alpha_1 &= 1 + \sin \beta q_0, \quad \alpha_2 = -1 + \sin \beta q_0, \\ n^2 &= \frac{\beta^2}{A^2} \dot{y}_0^2 - (\sin \beta q_0 - \sin \beta q)^2. \end{aligned} \right\} \quad (I,9)$$

Величина пролетного зазора  $b$  равна

$$b = -\frac{K}{A\beta} \int_{\theta_0}^{\theta_b} \frac{\theta d\theta}{\sqrt{G(\theta)}} . \quad (I,10)$$

Для рассматриваемого режима,  $\beta q_0 = -\frac{\pi}{2}$  и  $\beta q_b = +\frac{\pi}{2}$ , ( $\theta_b = 0$ ,  $\theta_0 = \pi/2$ ) с учетом введенных обозначений (3), (I,5),

$$\frac{2\pi b}{\lambda} = \frac{1}{\sqrt{\nu^2 - 1}} \int_0^{\frac{\pi}{2}} \frac{\theta d\theta}{\sqrt{G(\theta)}} . \quad (I,11)$$

Этот интеграл ( $J = \int_0^{\frac{\pi}{2}} \frac{\theta d\theta}{\sqrt{G(\theta)}}$ ) сводится к эллиптическим интегралам с помощью следующего преобразования [8]:

$$\operatorname{tg}^2 \frac{\varphi}{2} = \frac{\cos \theta_1}{\cos \theta_2} \cdot \frac{\alpha_1 - \theta}{\theta - \alpha_2} . \quad (I,12)$$

Интеграл  $J$  после преобразования принимает вид (I,13):

$$J = \mu \int_{\varphi_0}^{\varphi_0} \frac{\theta d\varphi}{\sqrt{1 - k^2 \sin^2 \varphi}} . \quad (I,13)$$

Здесь  $\mu = -\frac{\sqrt{\cos \theta_1 \cdot \cos \theta_2}}{\cos \theta_1}$ ,  $(I,14)$

$$k^2 = \sin^2 \frac{\theta_1 - \theta_2}{2} , \quad (I,15)$$

$$\operatorname{tg} \theta_1 = \frac{\alpha_1 - \beta_1}{c_1}, \quad \operatorname{tg} \theta_2 = \frac{\alpha_2 - \beta_2}{c_2} \quad (\text{I}, \text{I6})$$

$\alpha_1, \alpha_2$  - действительные корни многочлена  $G(\theta)$  (I,9),

$\beta_1 \pm j\beta_1$  - комплексно-сопряженные корни  $G(\theta)$ .

В рассматриваемом режиме ( $\beta_1 = -\frac{\pi}{2}, \beta_2 = \frac{\pi}{2}$ ) (I,9):

$$\alpha_1 = 2, \alpha_2 = 0, \beta_1 = 0, c_1 = n = \sqrt{A_0^2 - 4}, \quad (\text{I}, \text{I7})$$

где  $A_0 = \frac{\beta}{k\sqrt{v^2 - 1}} \varphi_0$ .  $(\text{I}, \text{I8})$

Основное преобразование (I,12) при этом принимает вид (I,19),

$$\operatorname{tg}^2 \frac{\varphi}{2} = \cos \theta_1 \cdot \frac{2 - \theta}{\theta}, \quad (\text{I}, \text{I9})$$

а обратное преобразование - (I,20):

$$\theta = 1 - \frac{\beta_1 - \cos \varphi}{1 - \beta_1 \cos \varphi}, \quad (\text{I}, \text{I20})$$

где  $\beta_1 = \operatorname{tg}^2 \frac{\theta_1}{2}$ .  $(\text{I}, \text{I20a})$

В связи с тем, что в этом режиме  $\operatorname{tg} \theta_2 = 0, \operatorname{tg} \theta_1 = \frac{2}{c_1}$  (I,16), или с учетом (I,17) и (I,18)

$$\cos \theta_1 = \frac{\sqrt{A_0^2 - 4}}{A_0}, \quad (\text{I}, \text{I20b})$$

коэффициент  $\mu$  (I,14) и квадрат модуля  $k$  (I,15) примут вид (I,21) и (I,22):

$$\mu = -\frac{\sqrt{\Gamma^2 - 1}}{2\sqrt{\Gamma}}, \quad (\text{I}, \text{I21})$$

$$k^2 = \frac{\Gamma - 1}{2\Gamma}. \quad (\text{I}, \text{I22})$$

Здесь введено обозначение  $\Gamma$ ,

$$\Gamma = \frac{1}{\sqrt{1 - \frac{4}{A_0^2}}}, \quad (\text{I}, \text{I23})$$

при котором из (I,20b) и (I,16) следует

$$\cos \theta_1 = \frac{1}{\Gamma}, \quad c_1 = \frac{2}{\sqrt{\Gamma^2 - 1}}. \quad (\text{I}, \text{I23a})$$

Пределы интегрирования в (I,13) ( $\theta_0 = 0, \theta_0 = 2$ ) преобразуются (I,19) в  $\varphi_0 = \pi$  и  $\varphi_0 = 0$ :

$$J = -\mu \int_0^{\pi} \frac{\theta d\varphi}{\sqrt{1 - k^2 \sin^2 \varphi}}. \quad (\text{I}, \text{I24})$$

Если учесть (I,20), то

$$J = -2\mu \int_0^{\frac{\pi}{2}} \frac{d\varphi}{\sqrt{1 - k^2 \sin^2 \varphi}} + \mu \int_0^{\frac{\pi}{2}} \frac{\beta_1 - \cos \varphi}{1 - \beta_1 \cos \varphi} \cdot \frac{d\varphi}{\sqrt{1 - k^2 \sin^2 \varphi}}. \quad (\text{I}, \text{I25})$$

Изменение предела и появление коэффициента 2 в первом члене (I,25) следуют из симметрии подинтегральной функции относительно оси, проходящей через точку  $\varphi = \frac{\pi}{2}$ . Второй интеграл в (I,25) сводится к сумме  $\mu J_a + \mu J_b$ :

$$J_a = \frac{\beta_1}{1 - \beta_1^2} \int_0^{\frac{\pi}{2}} \frac{\sin^2 \varphi \cdot d\varphi}{(1 + m_1 \sin^2 \varphi) \sqrt{1 - k^2 \sin^2 \varphi}} \quad (\text{I}, \text{I26})$$

$$J_b = \int_0^{\frac{\pi}{2}} \frac{\cos \varphi \cdot d\varphi}{(1 + m_1 \sin^2 \varphi) \sqrt{1 - k^2 \sin^2 \varphi}}, \quad (\text{I}, \text{I27})$$

где  $m_1 = \frac{\beta_1^2}{1 - \beta_1^2}$ .  $(\text{I}, \text{I28})$

Интеграл  $J_b$  (I,27) равен нулю, что очевидно из антисимметрии  $\cos \varphi$  относительно  $\varphi = \frac{\pi}{2}$  и симметрии остальной части подинтегральной функции относительно той же оси. Интеграл  $J_a$  (I,26) сводится к эллиптическим:

$$J_a = \frac{\beta_1}{1 - \beta_1^2} \cdot \frac{1}{m_1} \left[ 2 \int_0^{\frac{\pi}{2}} \frac{d\varphi}{\sqrt{1 - k^2 \sin^2 \varphi}} - 2 \int_0^{\frac{\pi}{2}} \frac{d\varphi}{(1 + m_1 \sin^2 \varphi) \sqrt{1 - k^2 \sin^2 \varphi}} \right]. \quad (\text{I}, \text{I29})$$

дополнительной

Таким образом интеграл (I,25) принимает форму (I,30):

$$\begin{aligned} \mathcal{J} = & -2\mu K(k^2) + \mu \frac{\beta_1}{1-\beta_1^2} \cdot \frac{1}{m_1} \cdot 2K(k^2) - \\ & - \mu \frac{\beta_1}{1-\beta_1^2} \cdot \frac{1}{m_1} \cdot 2 \Pi(m_1, k^2), \end{aligned} \quad (I,30)$$

где  $K$  и  $\Pi$  - полные эллиптические интегралы I-го и 3-го рода.

Из (I,20a) (I,23a) и (I,28) следует

$$\beta_1 = \frac{\Gamma-1}{\Gamma+1}; \quad m_1 = \frac{(\Gamma-1)^2}{4\Gamma}. \quad (I,31)$$

С учетом этих соотношений и (I,21), интеграл (I,30) можно представить в форме (I,32):

$$\mathcal{J} = \frac{1}{\sqrt{\Gamma}} \sqrt{\frac{\Gamma+1}{\Gamma-1}} \left[ (\Gamma+1) \Pi(m_1, k^2) - 2K(k^2) \right]. \quad (I,32)$$

Для удобства пользования таблицами преобразуем эллиптический интеграл 3-го рода, изменив в нем область задания параметра  $m_1$  [9],

$$\Pi(m_1, k^2) = K(k^2) + \frac{1}{\sqrt{\beta}} \cdot \frac{\pi}{2} - \Pi(m, k^2). \quad (I,33)$$

$$\text{Здесь } m = \frac{k^2}{m_1}; \quad \beta = (1+m_1)(1+\frac{k^2}{m_1}). \quad (I,33a)$$

Пользуясь (I,33) и (I,33a), получим из (I,32) окончательное выражение интеграла  $\mathcal{J}$ , входящего в (I,II):

$$\mathcal{J} = \frac{1}{\sqrt{\Gamma}} \sqrt{\frac{\Gamma+1}{\Gamma-1}} \cdot \left[ \pi \sqrt{\Gamma} \cdot \sqrt{\frac{\Gamma-1}{\Gamma+1}} + (\Gamma-1) K(k^2) - (\Gamma+1) \Pi(m, k^2) \right], \quad (I,34)$$

где  $m = \frac{2}{\Gamma-1}, \quad k^2 = \frac{\Gamma-1}{2\Gamma},$

$$K(k^2) = \int_0^{\frac{\pi}{2}} \frac{d\varphi}{\sqrt{1-k^2 \sin^2 \varphi}},$$

$$\Pi(m, k^2) = \int_0^{\frac{\pi}{2}} \frac{d\varphi}{(1+m \sin^2 \varphi) \sqrt{1-k^2 \sin^2 \varphi}}$$

Таким образом, из (I,II) и (I,34) следует формула (8) для пролетного зазора (6) в режиме минимальных удельных потерь.

Из соотношения (I,23) с учетом (I,18), (I,6) и (4) получим (I,35)

$$\frac{K}{\beta} = \frac{\dot{y}}{2} = \frac{1}{2} \sqrt{\dot{y}_0^2 - 1} \cdot \cos \psi,$$

$$\dot{y}_0 = \sqrt{\dot{y}_0^2 - \dot{x}_0^2} = \sqrt{\dot{y}_0^2 - 1} \cdot \sin \psi,$$

$$\frac{4}{A_0} = \frac{4\kappa^2(\beta^2-1)}{\beta^2 \dot{y}_0^2} = \frac{(\dot{y}_0^2-1)(\beta^2-1)\cos^2 \psi}{(\sqrt{\dot{y}_0^2-1} \cdot \sin \psi)^2}, \quad (I,35)$$

откуда следует выражение (9) для  $\Gamma$  при произвольном значении угла ввода  $\psi$ .

Приложение II

Оценка погрешности расчетов, выполненных на основе плоской модели выходного резонатора аксиального гирокона

В плоской модели (рис. Iв) под действием ВЧ магнитного поля электрон перемещается в направлении противоположном движению бегущей волны [5]. При этом изменение абсциссы электрона за время пролета составляет  $-X_0$ , а траектория не выходит из плоскости максимального электрического поля ( $z = 0$  на рис. Iв).

В выходном резонаторе аксиального гирокона (рис. Iа) действие ВЧ магнитного поля приводит к удалению электрона от поверхности максимума электрического поля. Предположим, что перемещение электрона при пролете резонатора имеет ту же величину, что и в плоской модели ( $X_0$ ), но происходит в плоскости касательной к цилиндрической поверхности максимума поля (радиус этого цилиндра  $R = R_m$ ). Оценим координату точки выхода электрона из резонатора ( $R_m + \Delta R$ ):

$$R_m + \Delta R = \sqrt{R_m^2 + X_0^2} \quad (\text{II.1})$$

Для цилиндрического резонатора с колебаниями типа  $E_{III0}$  (рис. Iа, влияние центрального стержня не учитывается) поверхность максимального электрического поля имеет радиус

$$R_m = 0,293\lambda \quad (\text{II.2})$$

( $\lambda = 1,64\text{cm}$ ,  $\lambda$  – радиус резонатора) [6]. Относительное увеличение радиуса (II.1) равно

$$\frac{\Delta R}{R_m} = \sqrt{1 + \left(3,41 \frac{X_0}{\lambda}\right)^2} - 1 \quad (\text{II.3})$$

Здесь учтено соотношение (II.2).

Влияние центрального стержня в резонаторе (рис. Iа) приведет к уменьшению  $\left(\frac{\Delta R}{R_m}\right)$ . Тот же эффект дает учет азимутально-го ВЧ магнитного поля. Таким образом значение  $\left(\frac{\Delta R}{R_m}\right)$  в (II.3) завышено и дает оценку с избытком.

Распределение электрического поля по радиусу для рассматриваемого типа колебаний имеет вид

$$E_z(z) = E_m J_1 \left( \frac{2\pi z}{\lambda} \right), \quad (\text{II.4})$$

где  $E_z(R_m) = 0,582 E_m$  – максимальное значение электрического поля,  $\lambda$  – резонансная длина волны,  $J_1$  – функция Бесселя I-го рода I-го порядка.

При малом увеличении радиуса ( $\Delta R$ ) электрическое поле найдем, пользуясь разложением (II.4) в ряд Тейлора в точке  $z = R_m$ , а относительное изменение поля получим после преобразований в виде (II.5):

$$\frac{\Delta E_z}{E_z} \approx -0,7 \left( \frac{2\pi \Delta R}{\lambda} \right)^2 \quad (\text{II.5})$$

Если предположить, что электрон тормозится в однородном (но не максимальном) поле, то соотношения (5), (6), (7), (8), выведенные для плоской модели, остаются в силе, и для аксиального гирокона, но ВЧ напряжение в формуле (7) будет в них относиться не к максимуму поля, а к точкам, удаленным от поверхности максимума. Следовательно, коэффициент перенапряжения, определяемый по максимуму, будет выше на величину изменения поля (II.5). В действительности электрон при торможении выходит из области максимального поля, лишь в конце пролета, поэтому в первом приближении в качестве завышенной оценки можно принять половину изменения поля (II.5).

$$\frac{\Delta U}{U} \approx -\frac{1}{2} \frac{\Delta E_z}{E_z} \approx 0,35 \left( \frac{2\pi \Delta R}{\lambda} \right)^2 \quad (\text{II.5a})$$

После учета (II.3) и (II.2) формула для оценки погрешности примет вид:

$$\frac{\Delta U}{U} \approx 0,35 \left\{ 1,84 \left[ \sqrt{1 + \left(3,41 \frac{X_0}{\lambda}\right)^2} - 1 \right] \right\}^2 \quad (\text{II.6})$$

Величина  $\left(\frac{X_0}{\lambda}\right)$  может быть найдена путем анализа траектории электрона в плоской модели (I.1), (I.5).<sup>\*</sup> Из (I.5) с учетом (I.7) следует

$$S_\theta = -\frac{1}{A} \int_{\theta_0}^{\theta_0} \frac{d\theta}{\sqrt{G(\theta)}}, \quad (\text{II.7})$$

\* ) Приложение I

где  $\theta$  и  $G(\theta)$  даны в (I,7) и (I,9). Из (I,1) и из соотношения  $\dot{\theta} = \lambda ct - \dot{x}$  (3) имеем:

$$d\varphi = (\beta^2 - 1) dx = (\beta\gamma_0 - \beta^2 \sqrt{\gamma_0^2 - 1} \cdot \sin\psi) ds, \quad (\text{II},8)$$

а после интегрирования

$$-\frac{x_e}{\lambda} = \left[ \frac{\beta}{\beta^2 - 1} \cdot \gamma_0 - \frac{\beta^2}{\beta^2 - 1} \sqrt{\gamma_0^2 - 1} \cdot \sin\psi \right] s_e - \frac{\beta q_\beta - \beta q_0}{\beta(\beta^2 - 1)} \quad (\text{II},9)$$

В режиме минимальных удельных потерь ( $\beta q_\beta = \frac{\pi}{2}, \beta q_0 = -\frac{\pi}{2}$ ) из (II,9) с учетом интеграла (II,7), который сводится к эллиптическому, получим

$$-\frac{x_e}{\lambda} = \frac{\beta}{(\beta^2 - 1)\pi} \left[ \frac{r_0}{r_0} - \beta^2 \sqrt{\gamma_0^2 - 1} \cdot \sin\psi \right] \sqrt{\Gamma} \cdot K(k^2) - \frac{\pi}{2} \quad (\text{II},10)$$

здесь  $\Gamma$  - см. (9),  $k^2 = \frac{\Gamma - 1}{2\Gamma}$ ,  $K(k^2)$  - полный эллиптический интеграл I-го рода, остальные обозначения даны в (3) и (4).

Для критического режима ( $\beta q_\beta = \frac{\pi}{2}, \beta q_0 = -\frac{\pi}{2}, \psi = \psi_0$ )

$$\frac{x_e}{\lambda} = \frac{\beta}{\beta^2 - 1} \left[ \frac{1}{2} - \frac{K(k^2)}{\pi \sqrt{\gamma_0(\beta^2 - 1) + 1}} \right], \quad (\text{II},11)$$

$$k^2 = \frac{(\beta^2 - 1)(\gamma_0 - 1)}{2[(\beta^2 - 1)\gamma_0 + 1]} \quad (\text{II},11a)$$

Так, для  $\gamma_0 = 4$  ( $eU_0 \approx 1$  МэВ) и  $\beta = 1,84$  формула (II,11) дает  $\frac{x_e}{\lambda} = 0,254$ , а из (II,6) следует погрешность  $\frac{\Delta U}{U} = 12\%$ .

Это - погрешность расчета коэффициента перенапряжения по формуле (7) для выходного резонатора аксиального гирокона. Пролетный зазор для режима минимальных удельных потерь в рассматриваемом приближении остается таким же, как в плоской модели.

При угле ввода ( $\psi$ ) меньшем оптимального ( $\psi_0$ ) погрешность,

которую дает плоская модель, также уменьшается. С ростом  $\gamma_0$ -погрешность растет. Так, для  $\gamma_0 = 6$  ( $eU_0 \approx 2,5$  МэВ) при  $\psi = \psi_0$  и  $\beta = 1,84$   $\frac{x_e}{\lambda} = 0,273$  и  $\frac{\Delta U}{U} = 16\%$ .

Приложение III

Пролетный зазор и коэффициент перенапряжения при нулевом и оптимальном углах ввода луча

(Расчет по формулам плоской модели)

Значения  $\Psi = \Psi_0$  (5) и  $\Psi = 0$  представляют наибольший интерес, т.к. по существу задают пределы изменения угла ввода, которые могут встретиться в практике разработки гироконов.

Пользуясь соотношениями (8) и (9) для  $\Psi = 0$  получим

$$\left(\frac{b}{\lambda}\right)_{\Psi=0} = \frac{\sqrt{\gamma_0^2 - 1}}{\gamma_0} \cdot \frac{\Gamma}{\sqrt{\Gamma + 1}} \cdot \Phi_1(\Gamma). \quad (\text{III},1)$$

Для предельного случая  $\frac{1}{\nu} \rightarrow 0$  из (III,1) следует:

$$\left(\frac{b}{\lambda}\right)_{\Psi=0, \frac{1}{\nu}=0} = \sqrt{\gamma_0 - 1} \cdot \Phi(\gamma_0) \quad (\text{III},2)$$

Это – случай прямолинейной траектории электрона (при этом размер волновода в плоской модели равен критическому, и ВЧ магнитное поле на траектории отсутствует), случай не реализуемый на практике, но удобный для представления вспомогательной функции  $\Phi_1$ .

Для  $\Psi = 0$  соотношение (9) имеет вид

$$\Gamma = \frac{\gamma_0 \nu}{\sqrt{\gamma_0^2 + \nu^2 - 1}}, \quad (\text{III},3)$$

а при  $\frac{1}{\nu} \rightarrow 0$   $\Gamma = \gamma_0$ .

На рис.2а представлена зависимость относительного пролетного зазора  $\left(\frac{b}{\lambda}\right)$  и функции  $\Phi_1$  от относительной энергии электрона  $(\gamma_0)$  для  $\Psi = 0$  и  $\frac{1}{\nu} = 0$ . Здесь же дан коэффициент перенапряжения  $\left(\frac{U}{U_0}\right)$  для тех же условий, вычисленный по формуле (7).

Для других значений параметра  $\nu$  расчет пролетного зазора удобно вести с помощью соотношения (III,1), предварительно вычислив  $\Gamma$  по (III,3) и воспользовавшись значениями функции  $\Phi_1(\Gamma)$  из графика (рис.2а), в котором аргумент  $\left(\frac{1}{\nu}\right)$  заменяется значением  $\left(\frac{1}{\Gamma}\right)$ . На рис.2б приведены результаты расчета  $\left(\frac{b}{\lambda}\right)$

и  $\left(\frac{U}{U_0}\right)$  для  $\Psi = 0$  и  $\nu = 1,84$ , а также значения предельного электронного КПД  $(\zeta_{\text{ЭЛ}})$  гирокона для бесконечно тонкого пучка [5] при этих условиях.

Чтобы представить значения указанных величин во всей области изменения аргументов  $\gamma_0$  – относительной энергии электронов, – и  $\nu$  – относительной скорости волн, бегущей в выходном резонаторе, рассмотрим и другие предельные случаи:  $\nu = 1$  (резонатор с бегущей ТЕМ волной),  $\frac{1}{\nu} \rightarrow 0$  (ультраквантитатистские электроны) и  $\gamma_0 \rightarrow 1$  (нерелятивистские электроны).

Анализ соотношений (8) и (9) в предельных случаях дает следующие результаты (таблица I,III):

Таблица I,III

	$\frac{1}{\nu} \rightarrow 0$	$\nu = 1$	$\frac{1}{\gamma_0} \rightarrow 0$	$\gamma_0 \rightarrow 1$
$(\Gamma)_{\Psi=0}$	$\gamma_0$	1	$\nu$	I
$\left(\frac{b}{\lambda}\right)_{\Psi=0}$	$\sqrt{\gamma_0 - 1} \cdot \Phi_1(\gamma_0)$	$\frac{\sqrt{\gamma_0^2 - 1}}{4\gamma_0}$	$\frac{\nu}{\sqrt{\nu+1}} \cdot \Phi_1(\nu)$	0
$\left(\frac{U}{U_0}\right)_{\Psi=0}$	$\pi \sqrt{\gamma_0 + 1} \cdot \Phi_1(\gamma_0)$	$\frac{\pi}{4} \frac{\sqrt{\gamma_0 + 1}}{\gamma_0}$	$\frac{\pi}{4} \frac{\nu}{\sqrt{\nu+1}} \cdot \Phi_1(\nu)$	$\frac{\pi}{2}$
$(\zeta_{\text{ЭЛ}})_{\Psi=0}$	1	$\frac{\gamma_0 + 1}{2\gamma_0}$	$\frac{\nu}{\nu + 1}$	I

Значение функции  $\Phi_1$  для аргумента равного единице составляет  $\Phi_1(1) = \frac{\sqrt{2}}{4}$ .

На рис.2в даны результаты расчета величин  $\left(\frac{b}{\lambda}\right)$ ,  $\left(\frac{U}{U_0}\right)$  и  $(\zeta_{\text{ЭЛ}})$  для  $\Psi = 0$  и  $\nu = 1$ , а также показаны области изменения этих величин во всем диапазоне аргументов  $\left(\frac{1}{\nu}\right)$  и  $\left(\frac{1}{\gamma_0}\right)$ .

Для оптимального угла ввода  $\Psi = \Psi_0$ , пользуясь соотношениями (8) и (10), получим

$$\left(\frac{b}{\lambda}\right)_{\Psi=\Psi_0} = \sqrt{\gamma_0 - 1} \cdot \Phi_1(\Gamma). \quad (\text{III},4)$$

где  $(\Gamma)$  вычисляется по формуле (10), а  $\Phi_1$  из графика рис.2а с соответствующей заменой аргумента  $(\frac{1}{V}) \delta_0$  на  $(\frac{1}{V})$ . На рис.3а приведены результаты расчета  $(\frac{b_0}{\lambda})$  по формуле (III,4) и  $(\frac{U}{U_0})$  по формуле (7) для  $\Psi = \Psi_0$  и  $V = 1,84$ . Кроме того, здесь даны значения синуса оптимального угла ввода ( $\sin \Psi_0$ ), вычисленные по формуле (5).

Анализ предельных случаев для  $\Psi = \Psi_0$  дает следующие результаты (таблица 2,III):

Таблица 2,III

	$\frac{1}{V} \rightarrow 0$	$V = 1$	$\frac{1}{\delta_0} \rightarrow 0$	$\gamma_0 \rightarrow 1$
$(\Gamma)_{\Psi = \Psi_0}$	$\delta_0$	1	$\infty$	1
$(\frac{b_0}{\lambda})_{\Psi = \Psi_0}$	$\sqrt{\delta_0 - 1} \cdot \Phi_1(\delta_0)$	$\frac{1}{2} \sqrt{\frac{\delta_0 - 1}{2}}$	$\frac{1}{2} \sqrt{\delta_0^2 - 1}$	0
$(\frac{U}{U_0})_{\Psi = \Psi_0}$	$\pi \sqrt{\delta_0 + 1} \cdot \Phi_1(\delta_0)$	$\frac{\pi}{2}$	$\frac{\pi}{2}$	$\frac{\pi}{2}$
$\sin \Psi_0$	0	$\sqrt{\frac{\delta_0 - 1}{\delta_0 + 1}}$	$\frac{1}{V}$	0

На рис.3б приведены результаты расчета величин  $(\frac{b_0}{\lambda})$ ,  $(\frac{U}{U_0})$  и  $\sin \Psi_0$  для  $V = 1$  и  $\Psi = \Psi_0$ , а также показаны области изменения этих величин во всем диапазоне аргументов  $(\frac{1}{V})$  и  $(\frac{1}{\delta_0})$ . При выполнении условия  $\Psi = \Psi_0$  (рис.3а, 3б, табл.2,III, рис.2а) электронный КПД гирокона с бесконечно тонким пучком равен 100%.

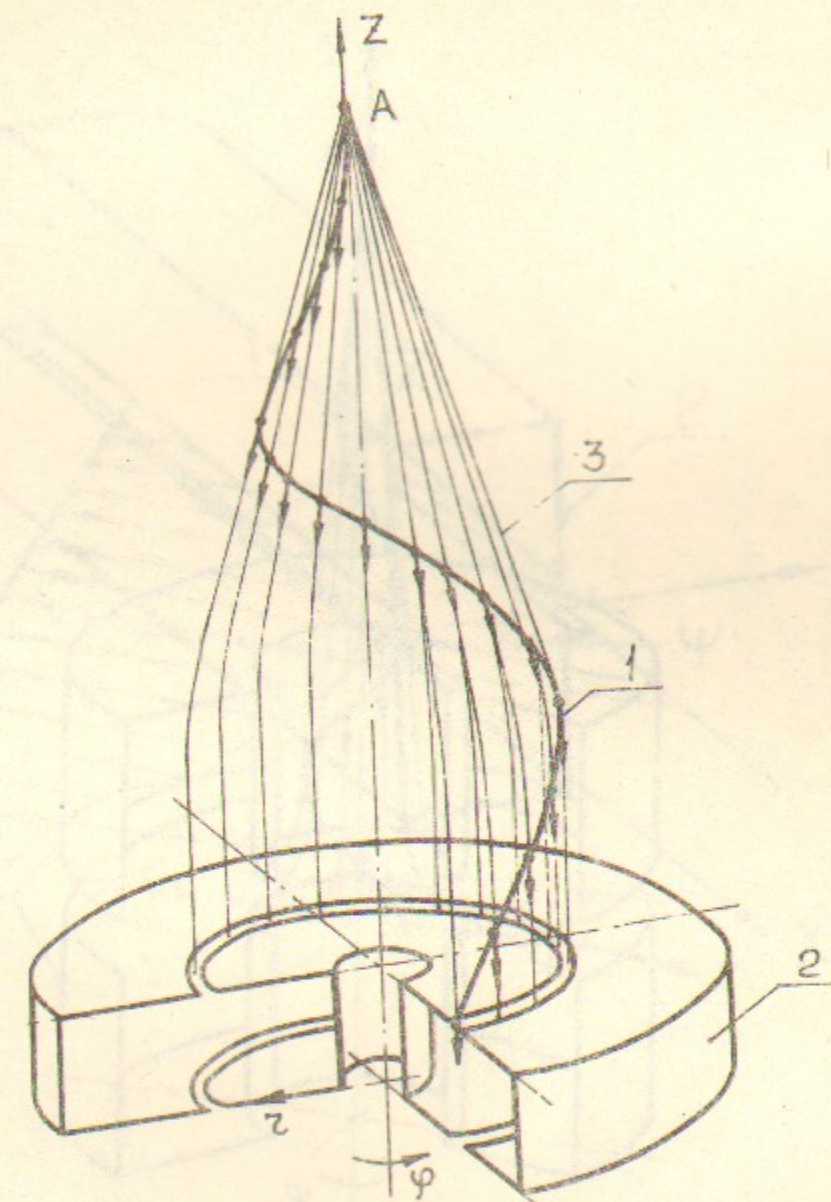


Рис.1а Электронный пучок и выходной резонатор аксиального гирокона.  
1 - мгновенные положения электронов и направления их скоростей после развертки пучка;  
2 - выходной резонатор; 3 - траектория электрона; А - "центр" резонатора развертки.

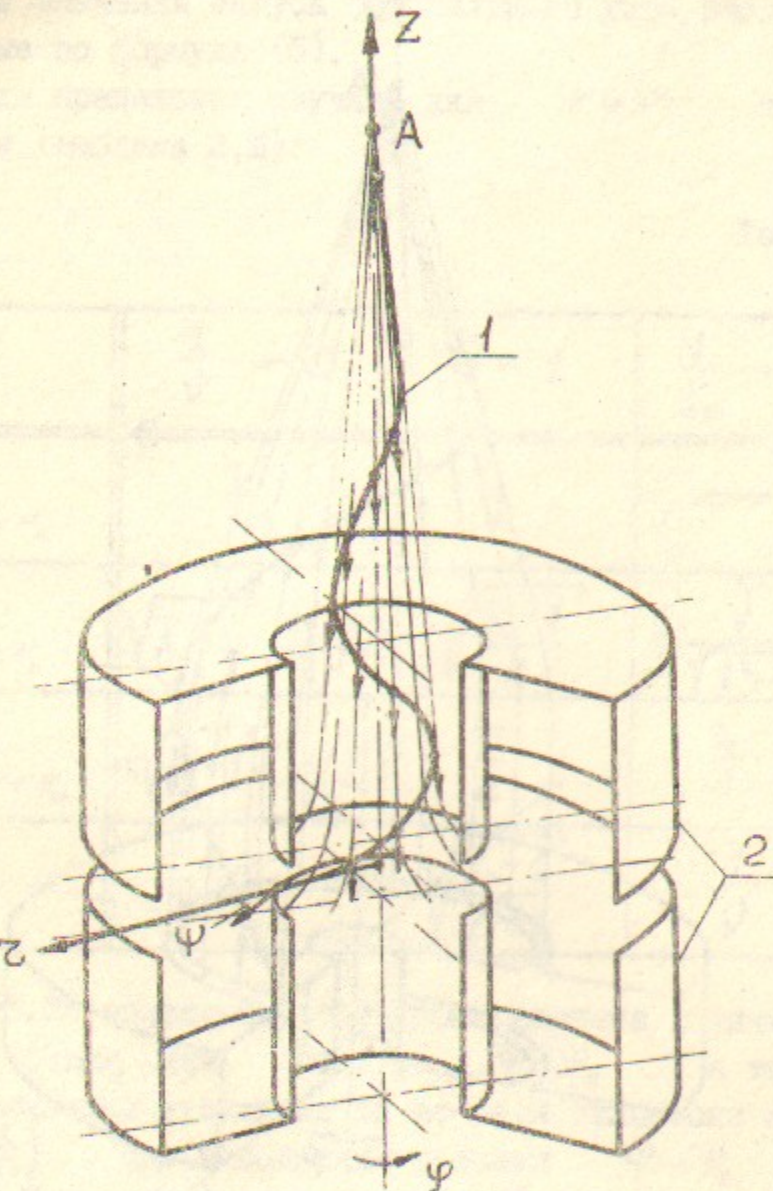


Рис.Іб Электронный пучок и выходной резонатор радиального гирокона.  
1 - мгновенные положения электронов и направления их скоростей после развертки пучка;  
2 - выходной резонатор; А - "центр" резонатора развертки;  $\psi$  - угол ввода луча.

- 30 -

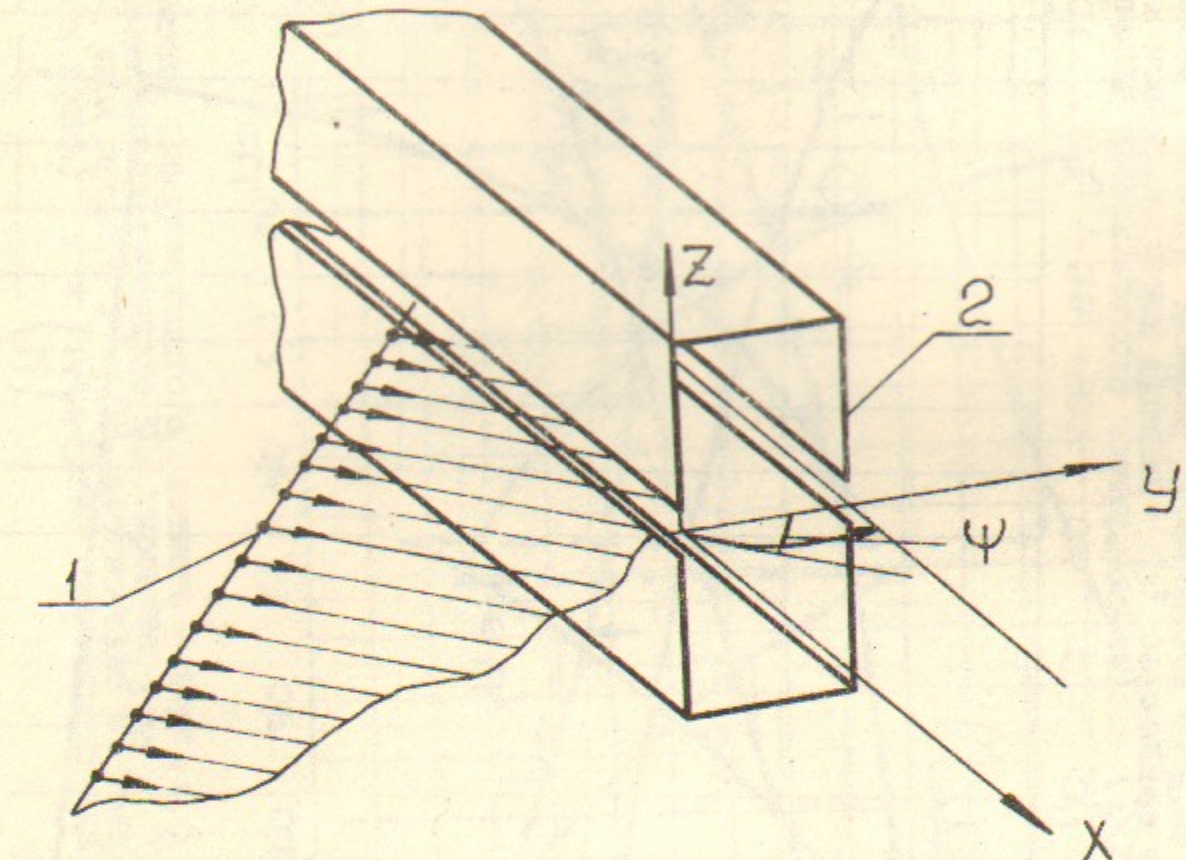


Рис.Ів Электронный пучок в плоской модели выходного резонатора гирокона.  
1 - мгновенные положения электронов и направления их скоростей; 2 - плоская модель выходного резонатора;  $\psi$  - угол ввода луча.

- 31 -

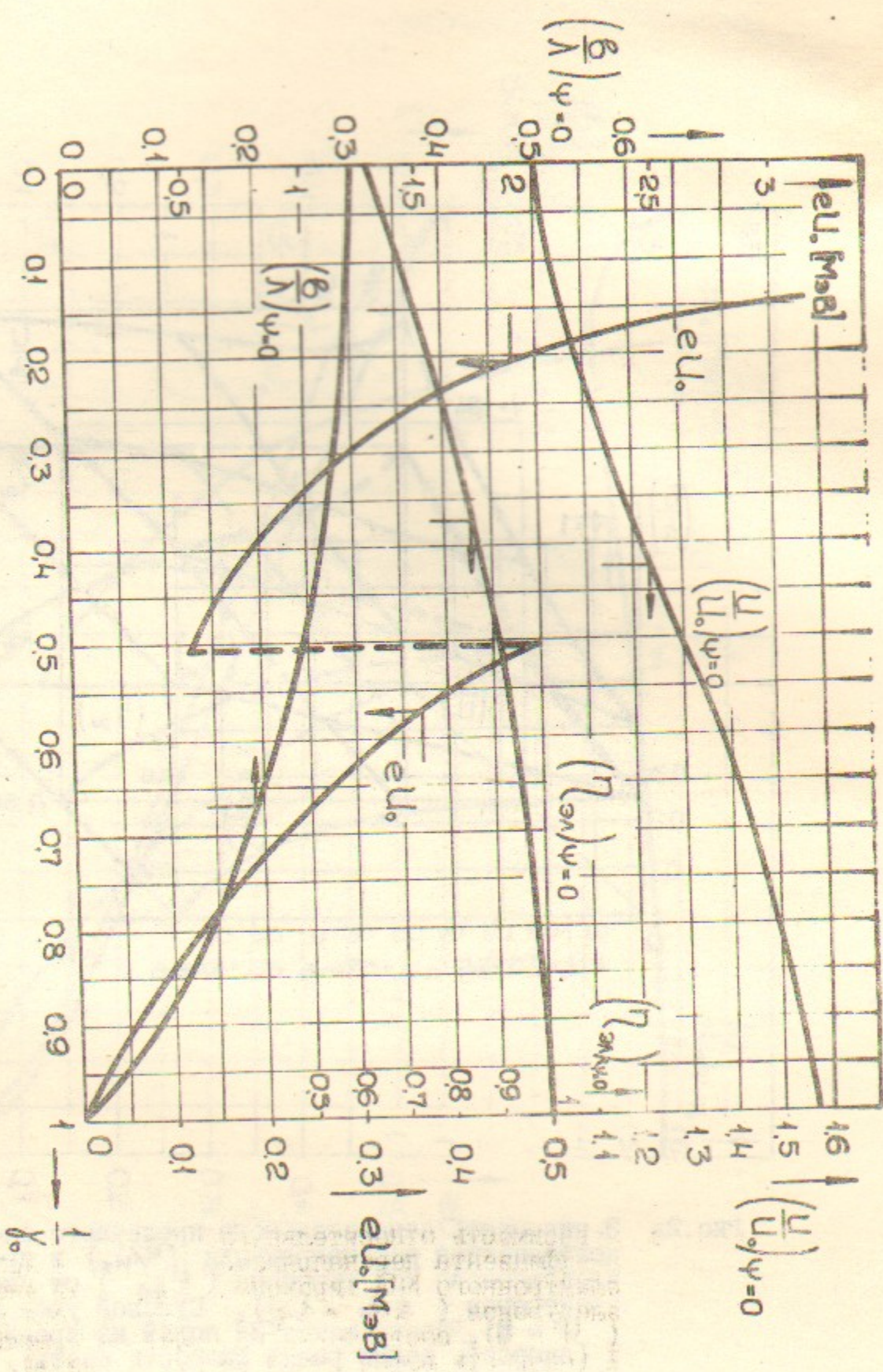


Рис.26 Зависимость относительного пролетного зазора  $(\delta/\lambda)$ , коэффициента перенапряжения  $(U/U_0)$  и предельного электронного КПД тирокона  $\eta_\epsilon \rightarrow \eta_0$  от энергии электронов  $eU_0$ .  
Нулевой угол ввода ( $\psi = 0$ ) соотношение полей на траектории (относительная скорость волн)  $\gamma = 1,84$ . Режим минимальных удельных потерь.

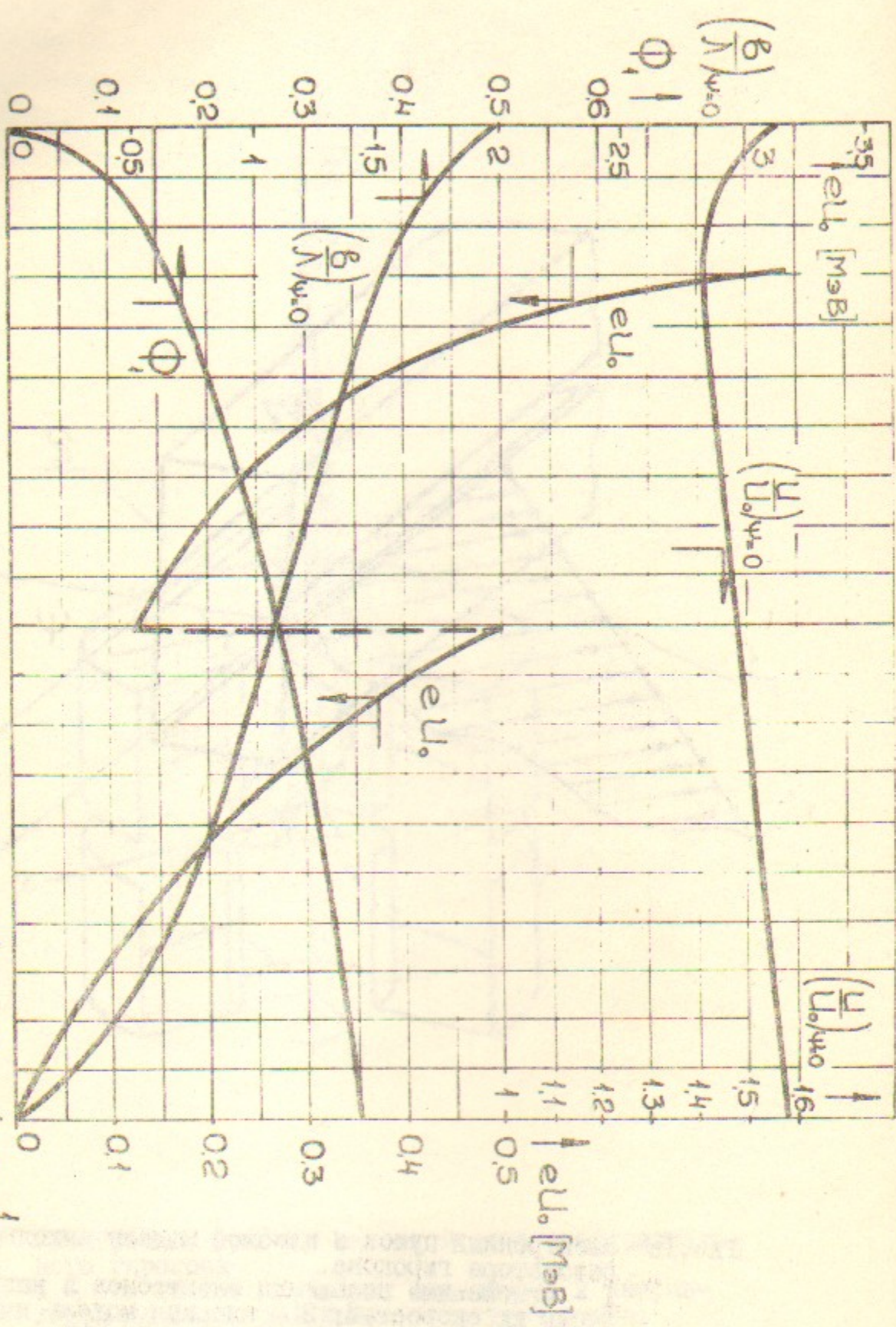


Рис.2a Зависимость относительного пролетного зазора  $(\delta/\lambda)$ , коэффициента первичного напряжения  $(U/U_0)$  и вспомогательной функции  $\Phi_1$  от энергии электронов  $eU_0 \rightarrow \frac{1}{eU_0}$ .  
Нулевой угол ввода ( $\psi = 0$ ), нулевое ВЧ магнитное поле на траектории ( $A_V = 0$ ). Режим минимальных удельных потерь.

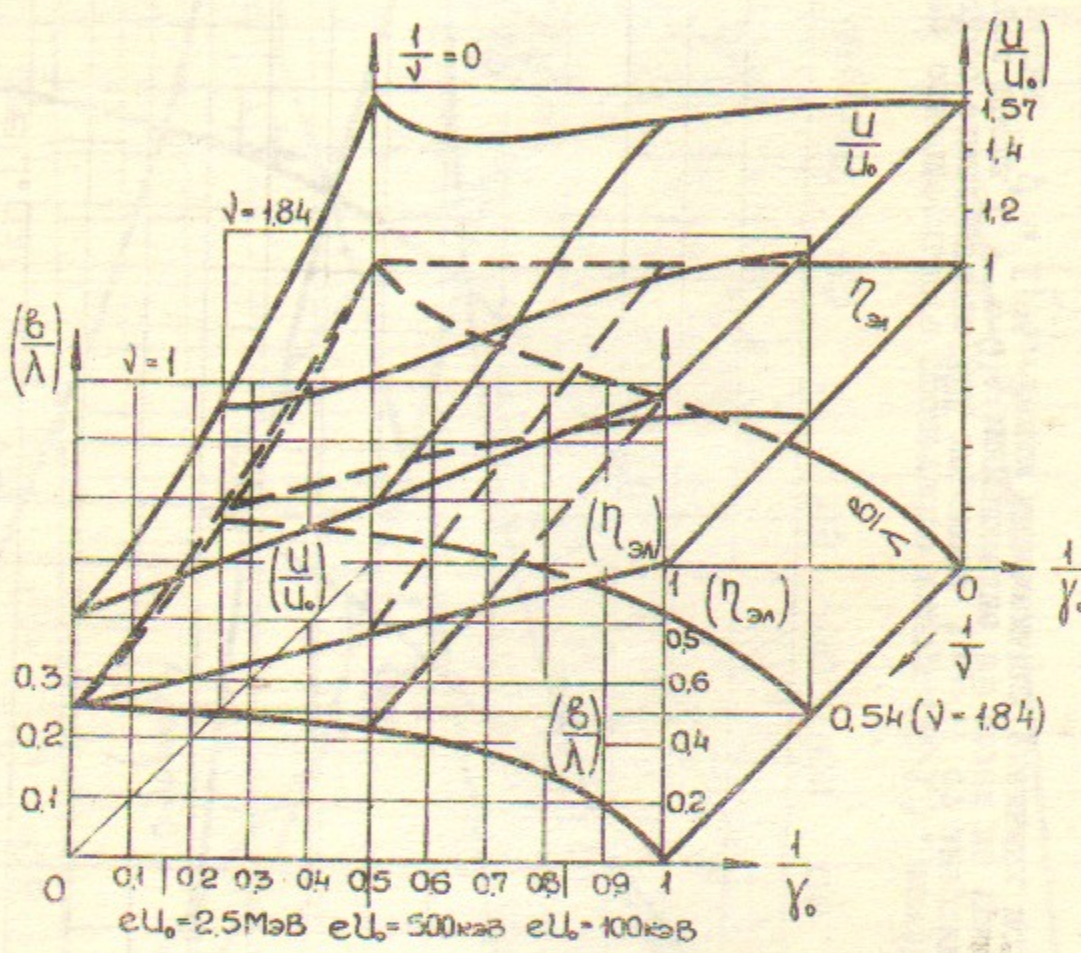


Рис.2в Зависимость относительного пролетного зазора ( $\frac{\theta}{\lambda}$ ), коэффициента перенапряжения ( $\frac{U}{U_0}$ ) и предельного электронного КПД гирокона ( $\frac{E}{E_{crit}}$ ) от энергии электронов ( $eU_0 \rightarrow eU$ ). Нулевой угол ввода ( $\Psi = 0$ ), соотношение ВЧ полей на траектории ( $\beta/\lambda$ ) – I (скорость волны равна скорости света). По третьей оси отложены другие возможные значения параметра  $\beta/\lambda$ . Режим минимальных удельных потерь.

- 34 -

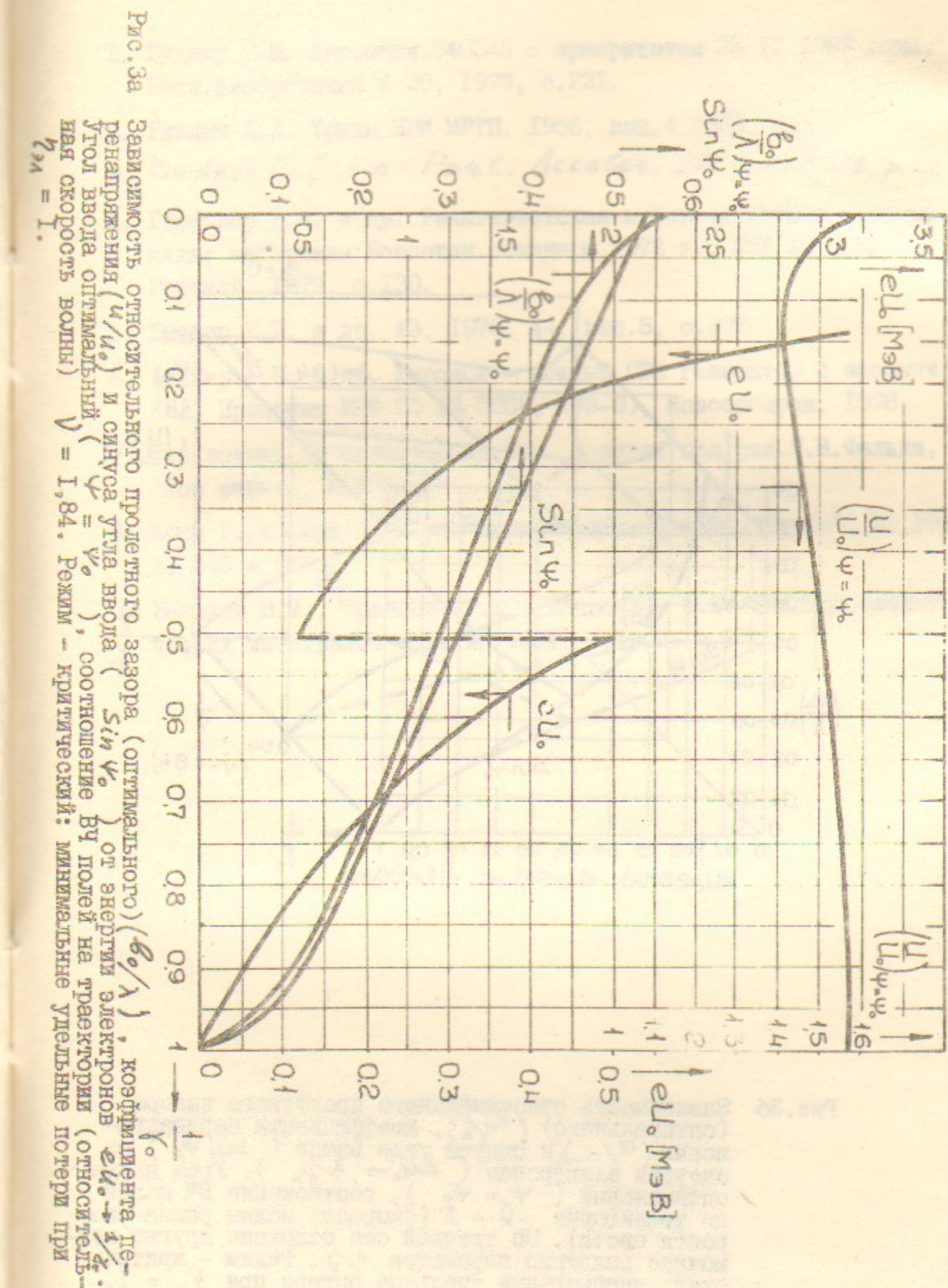


Рис.3а Зависимость относительного пролетного зазора (optимального) ( $\frac{\theta}{\lambda}$ ), коэффициента перенапряжения ( $\frac{U}{U_0}$ ) и синуса угла ввода ( $\sin \Psi$ ) от нормированной энергии ( $\gamma$ ) при вводе оптимальный ( $\Psi = \Psi_0$ ), соотношение ВЧ полей на траектории (относительная скорость волны)  $\beta/\lambda = \beta_0 = 1$ . Режим – критический: минимальные удельные потери.

- 35 -

## Л и т е р а т у р а

1. Будкер Г.И. Авт.свид.340345 с приоритетом 24 УГ 1969 года, Бюлл.изобретений № 29, 1976, с.221.
2. Ривлин Л.А. Труды НИИ МРПП, 1956, вып.4 (33), с.3.
3. Budker G.I. et al Part. Acceler. 1979, v10, n1, p.51.
4. Горников Э.И. и др. Релятивистская высокочастотная электроника; материалы Всесоюзн.семинара 1978 г., ИФ АН СССР, Горький, 1979, с.130.
5. Будкер Г.И. и др. АЭ, 1978, 44, вып.5, с.397.
6. Будкер Г.И. и др. Гирокон - мощный СВЧ генератор с высоким КПД, Препринт ИЯФ СО АН СССР, (78-9), Новосибирск, 1978.
7. Справочник по волноводам. Пер. с англ. под ред. Я.Н.Фельда, "Сов радио", М.1952.
8. Корн Г. и Корн Т. Справочник по математике. "Наука", М., 1968, с. 646 + 649.
9. Беляков В.М., Кравцова Р.И., Раппопорт М.Г. Таблицы эллиптических интегралов т.II, АН СССР, М.1963, с.ХI

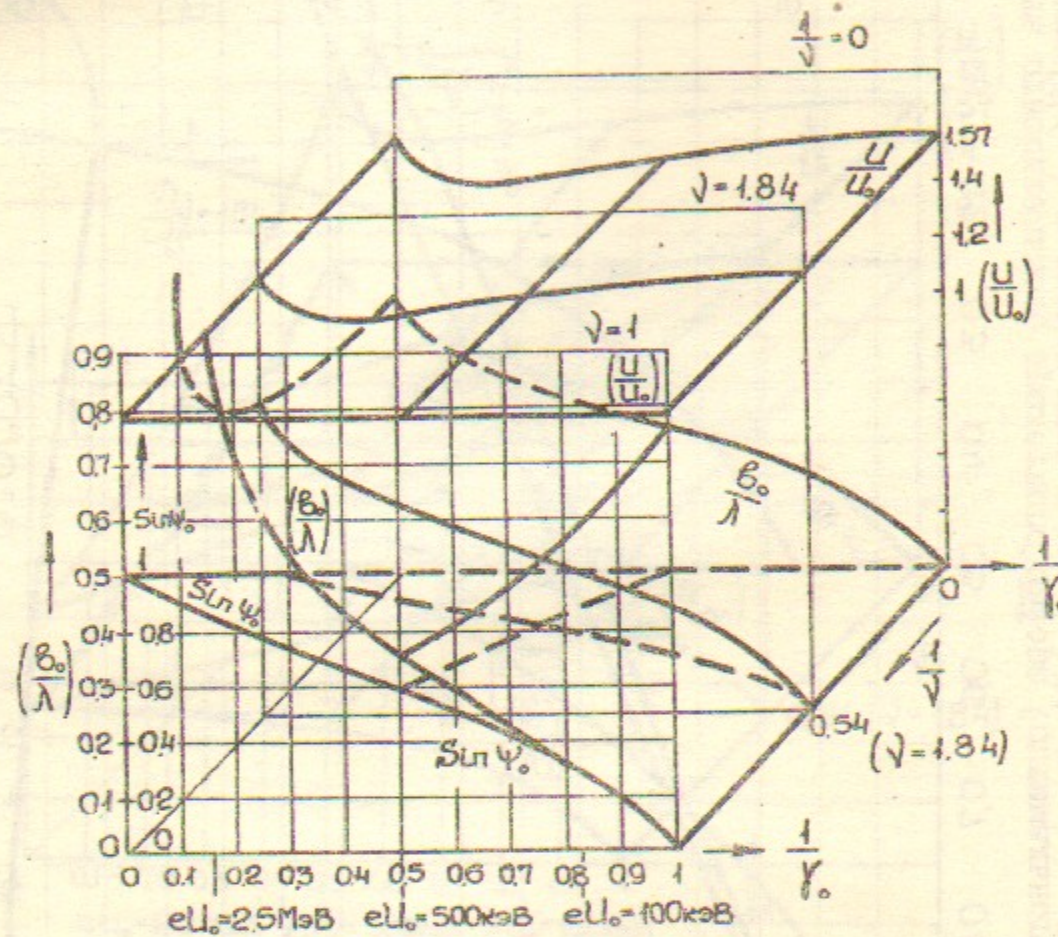


Рис.3б Зависимость относительного пролетного зазора (оптимального) ( $\frac{\delta}{\lambda}$ ), коэффициента перенапряжения ( $\frac{U}{U_0}$ ) и синуса угла ввода ( $\sin \Psi_0$ ) от энергии электронов ( $eU_0 \rightarrow \frac{eU}{eU_0}$ ). Угол ввода оптимальный ( $\Psi = \Psi_0$ ), соотношение ВЧ полей на траектории  $V = 1$  (скорость волны равна скорости света). По третьей оси отложены другие возможные значения параметра  $\frac{l}{V}$ . Режим - критический: минимальные удельные потери при  $\frac{l}{V} = 1$ .